Applications - Chapitre 12

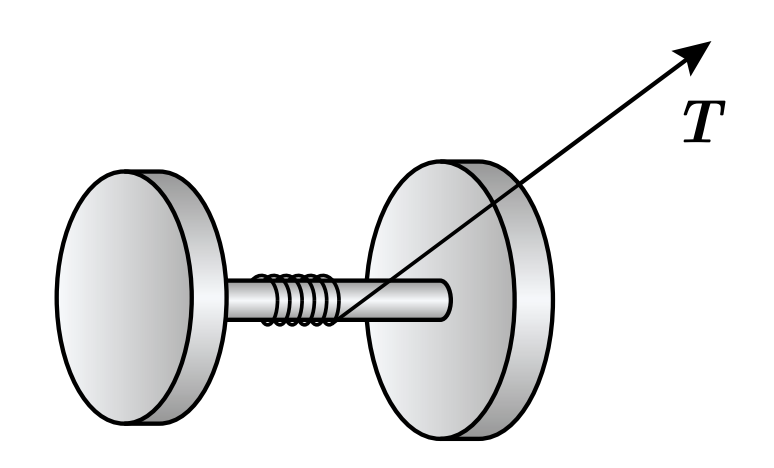
Cinématique et dynamique du solide indéformable

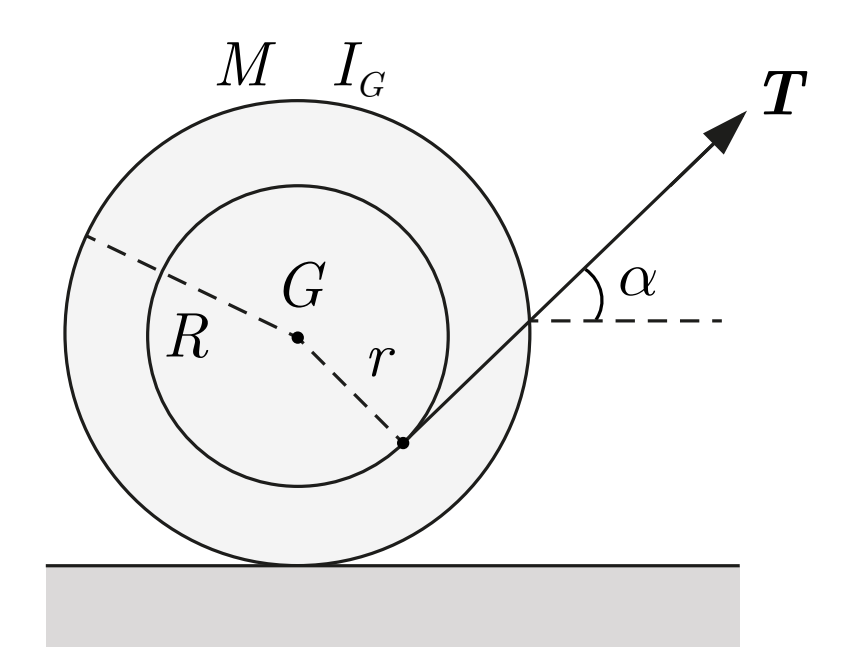


A.12.2 Yoyo

A.12.2 Yoyo

- Une haltère de masse M est formée d'une poignée de rayon r et de deux disques de rayon R. Elle est tirée par une force de traction $T = \mathbf{cste}$ le long d'un fil de masse négligeable qui fait un angle α avec l'axe horizontal.
- L'haltère roule sans glisser sur un plan horizontal. Le fil ne glisse pas sur la poignée.
- Le moment d'inertie de l'haltère par rapport à son axe de symétrie horizontal passant par le centre de masse G est I_G .





- Forces extérieures :
 - lacktriangle Poids : en G

$$\boldsymbol{P} = M\,\boldsymbol{g} = Mg\,\hat{\boldsymbol{y}} \qquad (A.12.1)$$

 $oldsymbol{ol}}}}}}}}}}}$

$$\mathbf{N} = -N\,\hat{\mathbf{y}}\tag{A.12.2}$$

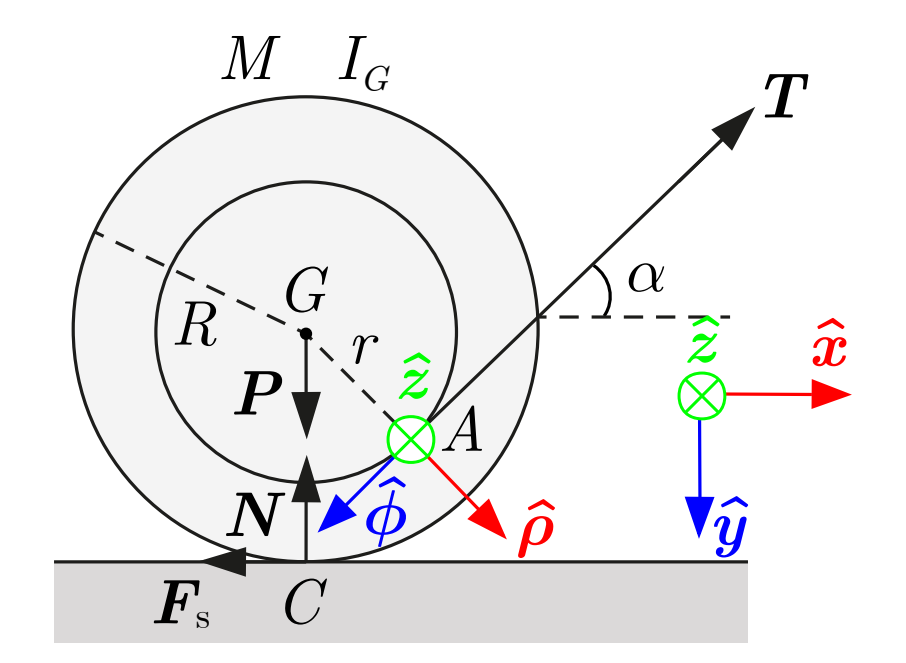


$$T = -T\,\hat{\boldsymbol{\phi}} = T\,\cos\alpha\,\hat{\boldsymbol{x}} - T\,\sin\alpha\,\hat{\boldsymbol{y}} \tag{A.12.3}$$

lacktriangle Force de frottement statique : en C

$$\mathbf{F}_s = -F_s \,\hat{\mathbf{x}} \tag{A.12.4}$$

On ne connait à priori pas le signe de F_s . Il est déterminé par les lois de la dynamique du solide indéformable.



Accélération du centre de masse :

$$\mathbf{A}_G = \ddot{X}_G \,\hat{\mathbf{x}} \tag{A.12.5}$$

Accélération angulaire :

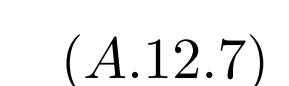
$$\dot{\mathbf{\Omega}} = \ddot{\phi}\,\hat{\mathbf{z}} \tag{A.12.6}$$

Théorème du centre de masse :

$$\sum \boldsymbol{F}^{\,\mathrm{ext}} = \boldsymbol{P} + \boldsymbol{N} + \boldsymbol{T} + \boldsymbol{F}_s = M \, \boldsymbol{A}_G$$

selon
$$\hat{\boldsymbol{x}}$$
: $T\cos\alpha - F_s = M\ddot{X}_G$

selon
$$\hat{\boldsymbol{y}}$$
: $Mg - N - T\sin\alpha = 0$



ullet Théorème du moment cinétique : $oldsymbol{L}_G = I_G \, oldsymbol{\Omega}$ où $I_G = \operatorname{cste}$

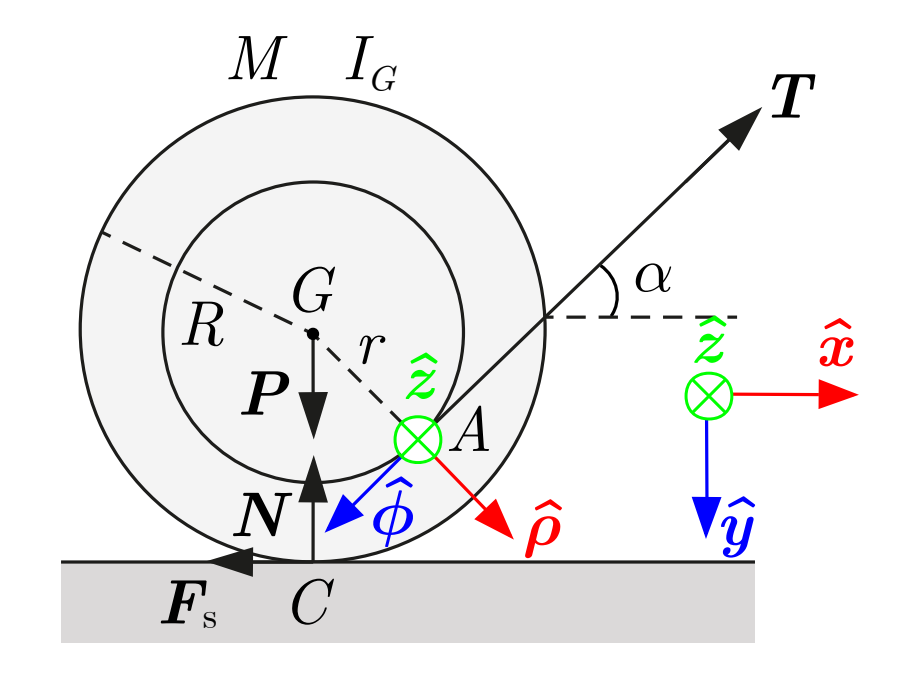
$$\sum_{s} M_G^{\text{ext}} = \underbrace{GG \times P}_{s} + \underbrace{GC \times N}_{s} + GA \times T + GC \times F_s = I_G \dot{\Omega} = \dot{L}_G$$

Théorème du moment cinétique :

$$GA \times T + GC \times F_s = I_G \dot{\Omega}$$

 $\Rightarrow (r \hat{\rho}) \times (-T \hat{\phi}) + (R \hat{y}) \times (-F_s \hat{x})$
 $= I_G \ddot{\phi} \hat{z}$ (A.12.9)

selon
$$\hat{\boldsymbol{z}}$$
: $-rT + RF_s = I_G \ddot{\phi}$



Liaison : roulement sans glissement

$$oldsymbol{V}_G = oldsymbol{V}_C + oldsymbol{\Omega} imes oldsymbol{C} G$$
 où $oldsymbol{V}_C = oldsymbol{0}$

où
$$oldsymbol{V}_C$$
 =

Dérivée temporelle :

$$oldsymbol{A}_G = \dot{oldsymbol{\Omega}} imes oldsymbol{C} oldsymbol{G} = \mathbf{cste}$$
 où $oldsymbol{C} oldsymbol{G} = \mathbf{cste}$

$$CG=\mathrm{cste}$$

(A.12.11)

$$\Rightarrow \ddot{X}_G \hat{\boldsymbol{x}} = (\ddot{\phi} \hat{\boldsymbol{z}}) \times (-R \hat{\boldsymbol{y}})$$

selon
$$\hat{\boldsymbol{x}}: \ddot{X}_G = R \ddot{\phi} \qquad \Rightarrow \qquad \ddot{\phi} = \frac{X_G}{R}$$

$$\ddot{\phi} =$$

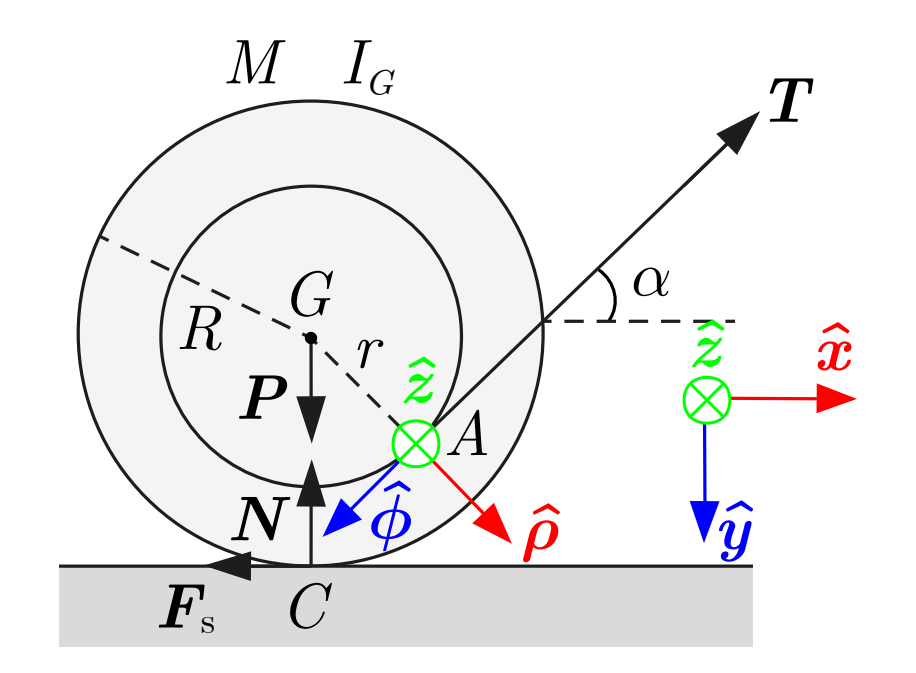
• Equations du mouvement :

$$T\cos\alpha - F_s = M\,\ddot{X}_G \qquad (A.12.7)$$

$$-rT + RF_s = \frac{I_G}{R}\ddot{X}_G$$
 (A.12.9)

• $R \cdot (A.12.7) + (A.12.9)$: (A.12.13)

$$(R\cos\alpha - r)T = \frac{I_G + MR^2}{R} \ddot{X}_G$$



$$\Rightarrow \quad \ddot{X}_G = \frac{\cos \alpha - \frac{r}{R}}{1 + \frac{I_G}{MR^2}} \frac{T}{M} \qquad \text{où} \qquad T > 0$$
 (A.12.13)



Accélération du centre de masse :

$$\ddot{X}_{G} = \frac{\cos \alpha - \frac{r}{R}}{1 + \frac{I_{G}}{MR^{2}}} \frac{T}{M}$$
 (A.12.13)

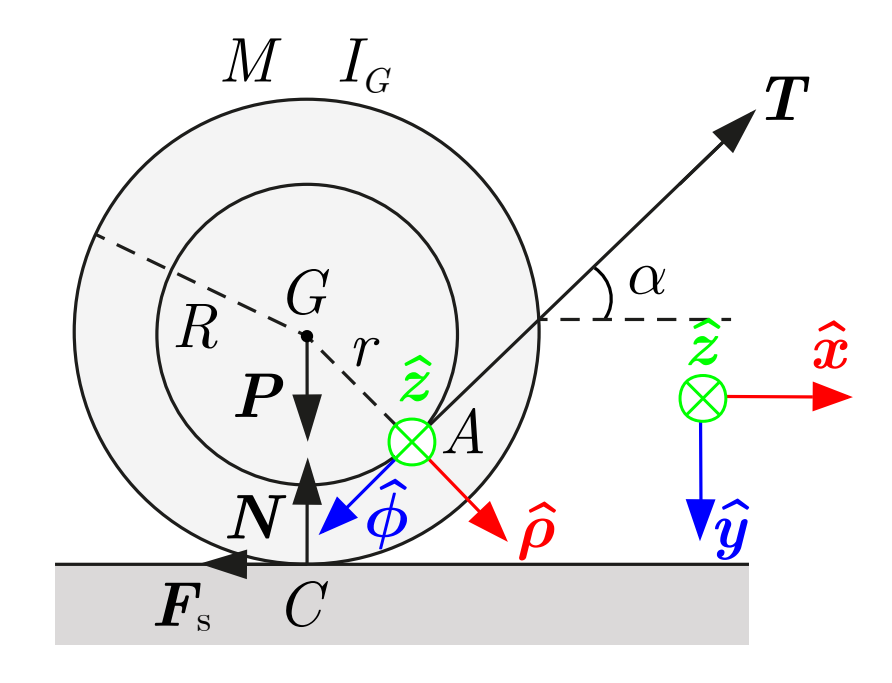
$$\bullet \quad \text{Si} \quad \cos \alpha > \frac{r}{R} \quad \Rightarrow \quad \ddot{X}_G > 0$$

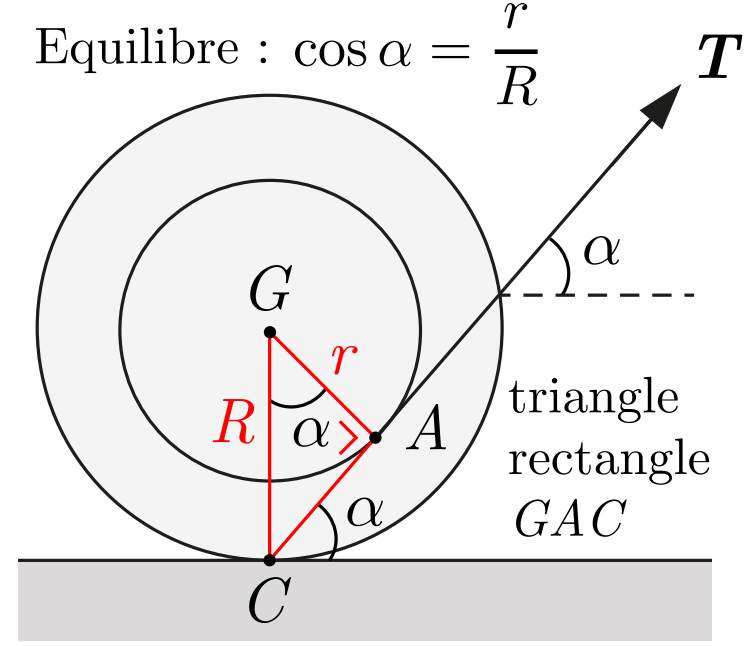
$$\alpha < \arccos\left(\frac{r}{R}\right) \rightarrow \text{droite}$$

$$2 \quad \text{Si} \quad \cos \alpha < \frac{r}{R} \quad \Rightarrow \quad \ddot{X}_G < 0$$

$$\alpha > \arccos\left(\frac{r}{R}\right) \rightarrow \text{gauche}$$

$$\alpha = \arccos\left(\frac{r}{R}\right)$$
 équilibre



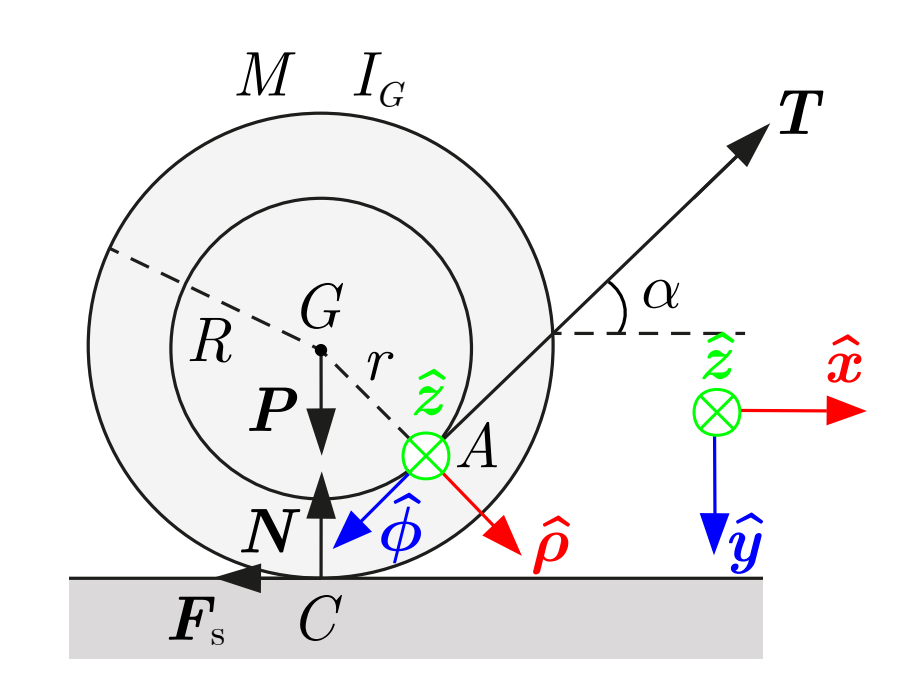


Force de frottement statique :

$$F_s = T\cos\alpha - M\ddot{X}_G \qquad (A.12.7)$$

Accélération du centre de masse :

$$\ddot{X}_{G} = \frac{\cos \alpha - \frac{r}{R}}{1 + \frac{I_{G}}{MR^{2}}} \frac{T}{M}$$
 (A.12.13)



Force de frottement statique :

$$F_s = \frac{\frac{I_G}{MR^2}\cos\alpha + \frac{r}{R}}{1 + \frac{I_G}{MR^2}} T > 0$$
 (A.12.14)

• La force de frottement F_s est orientée vers la gauche pour un angle $\alpha \in \left(0, \frac{\pi}{2}\right)$.

A.12.2 Yoyo

- Un yoyo est constitué d'un cylindre de masse M et de rayon R sur la surface duquel est fixé un fil de masse négligeable attaché au plafond au point O.
- Le yoyo roule sans glisser dans un plan vertical.
 Le fil ne glisse pas sur le yoyo.
- Le moment d'inertie du yoyo par rapport à son axe de symétrie horizontal passant par le centre de masse G est I_G .

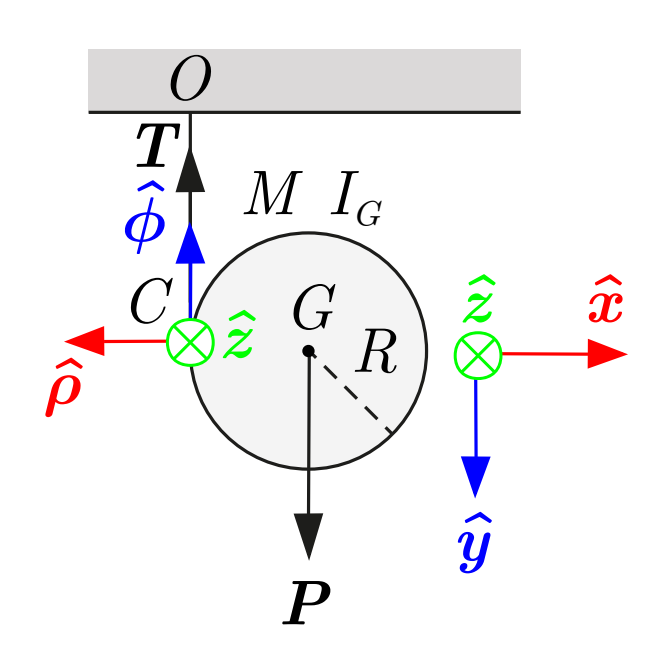


lacktriangle Poids : en G

$$P = M g = M g \hat{y}$$

 \bigcirc Tension : en C

$$T = -T \hat{y}$$



(A.12.15)

(A.12.16)



Accélération du centre de masse :

$$oldsymbol{A}_G = \ddot{Y}_G \, \hat{oldsymbol{y}}$$

(A.12.17)

Accélération angulaire :

$$\dot{oldsymbol{\Omega}} = \ddot{\phi}\,\hat{oldsymbol{z}}$$

(A.12.18)

Théorème du centre de masse :

$$\sum \boldsymbol{F}^{\,\mathrm{ext}} = \boldsymbol{P} + \boldsymbol{T} = M \, \boldsymbol{A}_G$$

(A.12.19)

selon
$$\hat{\boldsymbol{y}}$$
: $Mg - T = M \ddot{Y}_G$

(A.12.20)

 $M I_G$

ullet Théorème du moment cinétique : $oldsymbol{L}_G = I_G \, oldsymbol{\Omega}$ où $I_G = \operatorname{cste}$

$$\sum_{oldsymbol{G}} oldsymbol{M}_G^{\, ext{ext}} = oldsymbol{G} oldsymbol{S} oldsymbol{X} oldsymbol{P} + oldsymbol{G}oldsymbol{C} imes oldsymbol{T} = I_G \, oldsymbol{\dot{\Omega}} = oldsymbol{\dot{L}}_G$$

$$\Rightarrow (-R\,\hat{\boldsymbol{x}})\times(-T\,\hat{\boldsymbol{y}})=I_G\,\ddot{\phi}\,\hat{\boldsymbol{z}}$$

selon
$$\hat{\boldsymbol{z}}$$
: $RT = I_G \ddot{\phi}$

(A.12.21)

Liaison : roulement sans glissement

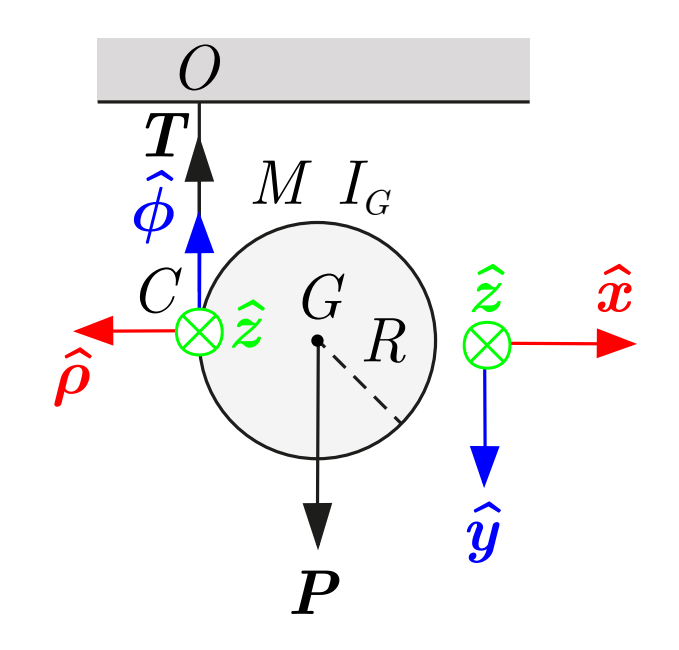
$$V_G = V_C + \Omega \times CG$$
 où $V_C = 0$ $(A.12.22)$

Dérivée temporelle :

$$m{A}_G = \dot{m{\Omega}} imes m{C} m{G}$$
 où $m{C} m{G} = \mathbf{cste}$ $(A.12.23)$

$$\Rightarrow \ddot{Y}_G \hat{\boldsymbol{y}} = (\ddot{\phi} \hat{\boldsymbol{z}}) \times (R \hat{\boldsymbol{x}})$$

selon
$$\hat{\boldsymbol{y}}: \ddot{Y}_G = R \ddot{\phi}$$
 (A.12.24)



• Equations du mouvement :

$$Mg - T = M \ddot{Y}_G \tag{A.12.20}$$

$$R^2 T = I_G \ddot{Y}_G \tag{A.12.25}$$

• Equations du mouvement :

$$Mg - T = M\ddot{Y}_G$$

$$R^2 T = I_G \ddot{Y}_G$$

 \bullet $R^2 \cdot (A.12.20) + (A.12.25)$:

$$MR^2g = (I_G + MR^2) \ddot{Y}_G$$

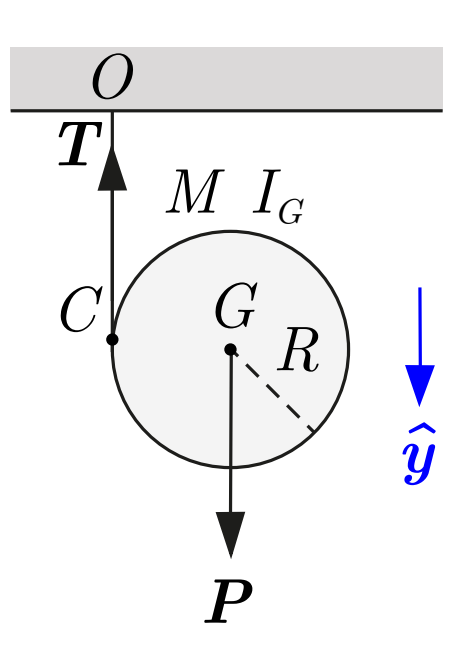
$$\Rightarrow \ddot{Y}_G = \frac{MR^2}{I_G + MR^2} g$$

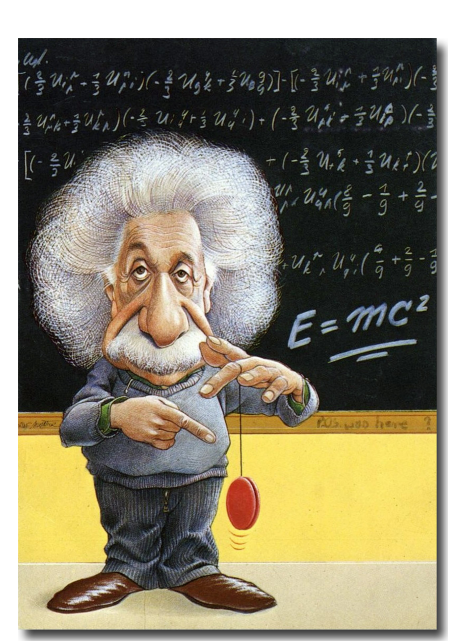
• $I_G \cdot (A.12.20) = M \cdot (A.12.25)$:

$$I_G M g - I_G T = M R^2 T$$

$$\Rightarrow T = \frac{I_G}{I_G + MR^2} Mg$$

(A.12.29)

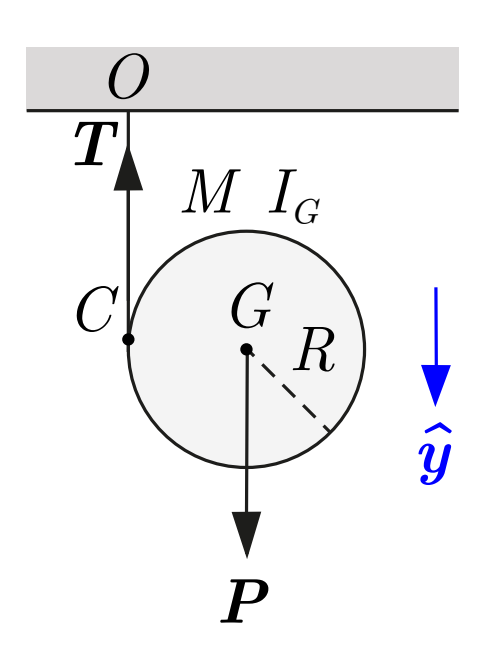




• Cylindre plein : $I_G = \frac{1}{2} MR^2$

$$\ddot{Y}_G = \frac{2}{3} g \tag{A.12.30}$$

$$T = \frac{1}{3} Mg (A.12.31)$$



• Cylindre creux : $I_G = MR^2$

$$\ddot{Y}_G = \frac{1}{2} g (A.12.32)$$

$$T = \frac{1}{2} Mg (A.12.33)$$

• Yoyo réel : $\frac{1}{2}MR^2 < I_G < MR^2$

